

PROVINCIA DI FORLÌ'-CESENA – COMUNE DI FORLIMPOPOLI



COMMITENTE:

GESCO S.R.L.

LOCALITA':

Forlimpopoli, via Paganello

RELAZIONE GEOLOGICA nuova area logistico industriale sita nel Comune di Forlimpopoli denominata "AREA EX SAPRO

ALLEGATO A6: INDAGINI SISMICHE

N. 1 Indagine MASW

N. 1 Indagine sismica passiva a stazione singola HVSR

Geologo Paride Antolini

Iscritto all'Ordine dei Geologi della Regione Emilia-Romagna al n. 524

Via Albisola 41, 47522 - Cesena FO cell. 335 6780120

E-mail: geoparide@libero.it PEC: paride.antolini@epap.sicurezzapostale.it

Cesena Settembre 2021



INTERGEO s.r.l. - **Servizi Geologici**
Strada Acquasalata, 9 47899 Serravalle - RSM
Codice Operatore Economico - SM21197
Tel. 333 2208376
www.intergeosm.com - mail: info@intergeosm.com

Località:

Forlimpopoli (FC) - Via Paganello

Oggetto:

Prova MASW (multichannel analysis of surface waves)

Data:

Novembre 2020

PREMESSA

Il giorno 02/11/2020 a Forlimpopoli (FC) - Via Paganello è stata eseguita un'indagine geofisica mediante una prova MASW (ubicazione fig. 1) per il calcolo del valore V_{S30} .

Lo scopo dell'indagine era di ottenere la stratigrafia delle velocità delle onde trasversali V_s da cui ricavare il parametro V_{S30} .

In questo cantiere è stata realizzata n. 1 prova MASW.

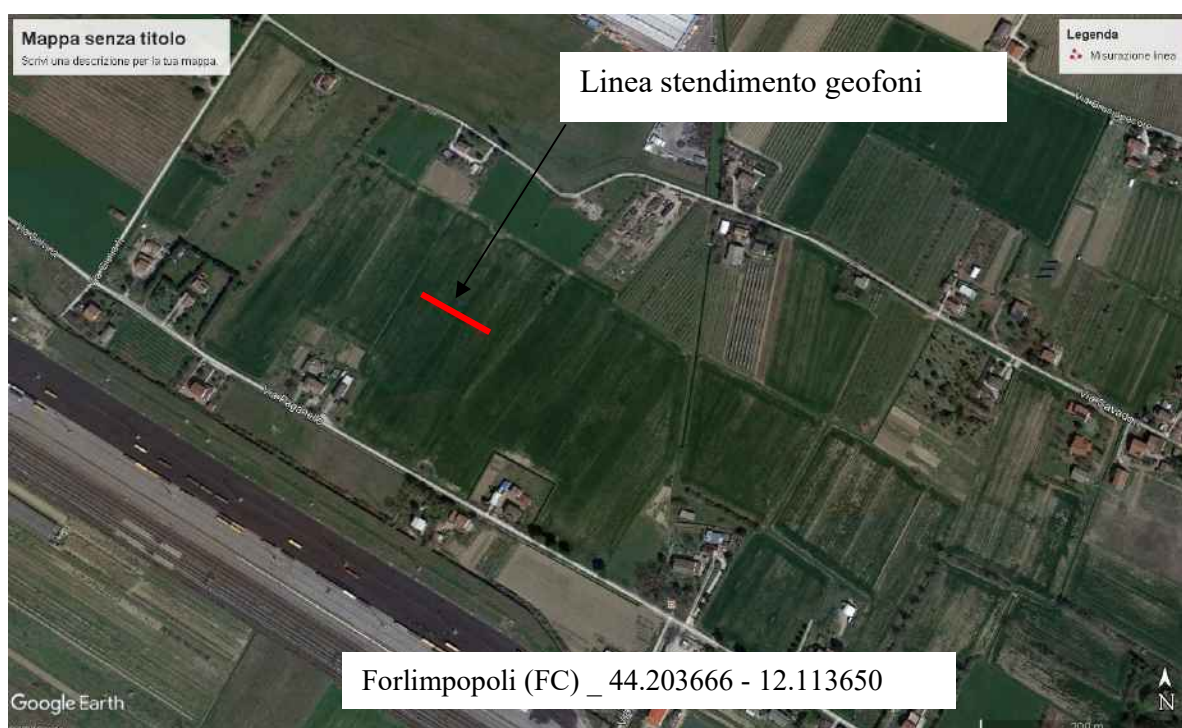


Fig. 1

Le caratteristiche della prova sono:

Nome	Stendimento geofonico (m)	Energizzaz.	Geofoni
Forlimpopoli	46	3	24

ANALISI MULTICANALE DELLE ONDE SUPERFICIALI

Sebbene le onde superficiali siano considerate rumore per le indagini sismiche che utilizzano le onde di corpo (riflessione e rifrazione), la loro proprietà dispersiva può essere utilizzata per studiare le proprietà elastiche dei terreni superficiali; questo viene interpretato con la metodologia MASW.

Questa pratica permette di utilizzare le proprietà dispersive delle onde superficiali e di costruire un profilo verticale di velocità delle onde di taglio (V_s), ottenuto dall'analisi delle onde piane della modalità fondamentale delle onde di Rayleigh.

L'inversione della curva di dispersione viene realizzata utilizzando la curva ottenuta dalla modellazione diretta.

STRUMENTAZIONE UTILIZZATA



fig. 2

La strumentazione utilizzata (fig. 2) è costituita da:

un sismografo PASI 16S24P; processore Intel Celeron; Ambiente Operativo Windows Xp; Numero canali 24; Display VGA a colori LCD touch screen; Supporto memorizzazione Hard-Disk; Temperatura di funzionamento 0°-55°; Umidità 5% - 90%; 24 geofoni da 4.5Hz; una mazza da 8 Kg;

DESCRIZIONE GENERALE DELLA PROCEDURA MASW

La procedura MASW può sintetizzarsi in tre stadi distinti:

- 1- acquisizione dei dati di campo;
- 2- estrazione della curva di dispersione;
- 3- inversione della curva di dispersione per ottenere il profilo verticale delle V_s (profilo 1D) che descrive la variazione di V_s con la profondità.

ELABORAZIONE E RISULTATI

In allegato sono riportati i risultati della prova MASW eseguita.

Nella prima figura (allegato 1) si osserva l'acquisizione delle onde generate in seguito all'energizzazione.

Segue (allegato 2) il piking effettuato sulla curva di dispersione per la modellazione delle V_s .

Infine viene mostrato il grafico delle V_s (allegato 3).

La classificazione del sottosuolo si effettua in base alle condizioni stratigrafiche ed ai valori della velocità equivalente di propagazione delle onde di taglio, $V_{S,eq}$ (in m/s), definita dall'espressione (Norme Tecniche per le Costruzioni 2018 del 17/01/2018), con la seguente formula:

$$V_{S,eq} = \frac{H}{\sum_{i=1}^N \frac{h_i}{V_{S,i}}}$$

con:

h_i : spessore dell' i -esimo strato;

$V_{S,i}$: velocità delle onde di taglio nell' i -esimo strato;

N : numero di strati;

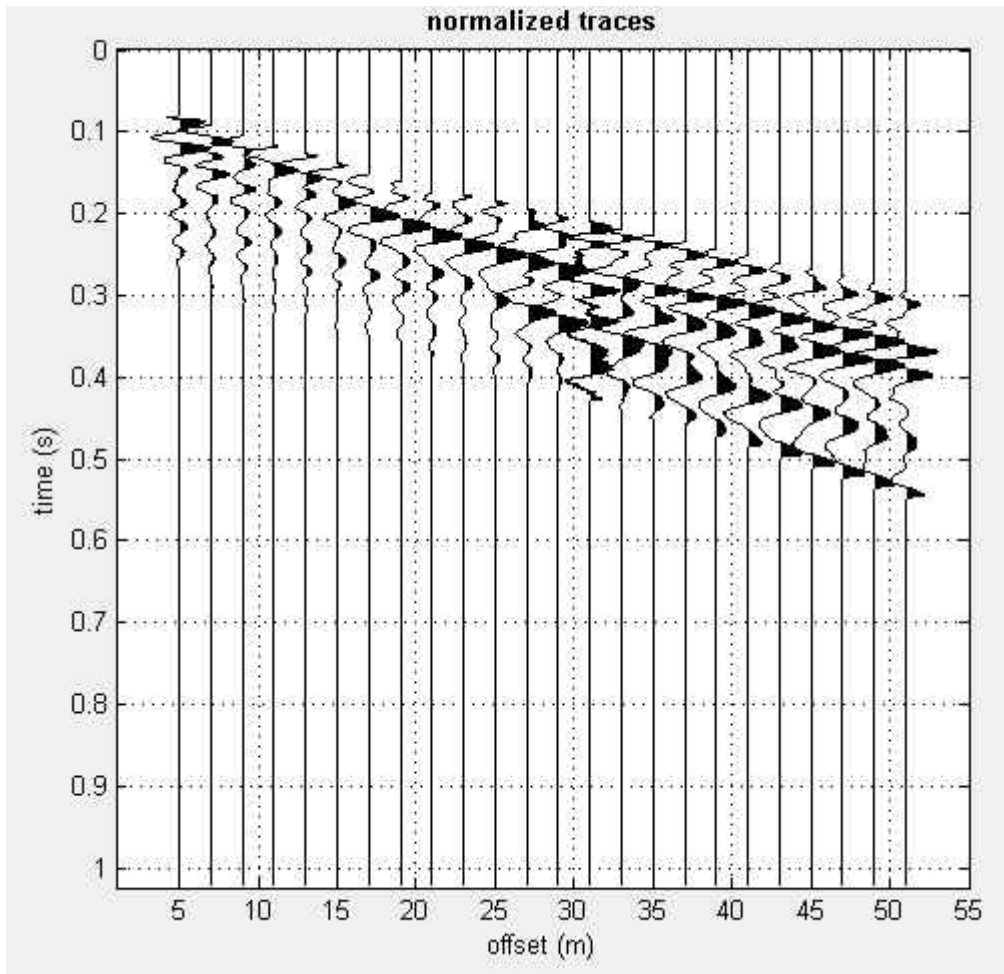
H : profondità del substrato, definito come quella formazione costituita da roccia o terreno molto rigido, caratterizzata da V_s non inferiore a 800 m/s.

Per depositi con profondità H del substrato superiore a 30 m, la velocità equivalente delle onde di taglio $V_{S,eq}$ è definita dal parametro $V_{S,30}$, ottenuto ponendo $H=30$ m nella precedente espressione e considerando le proprietà degli strati di terreno fino a tale profondità.

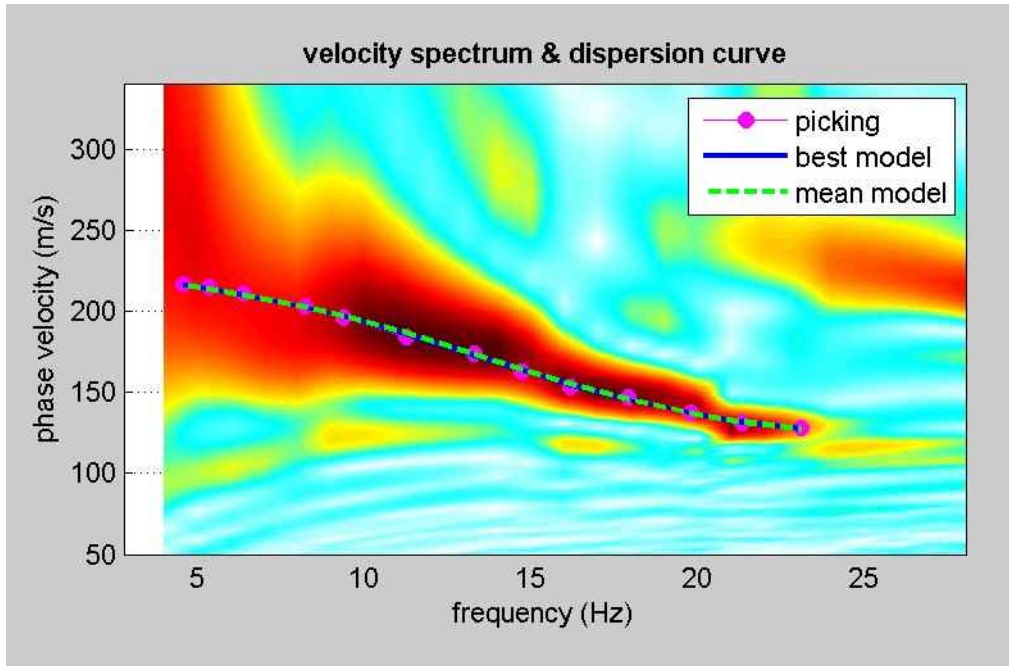
Con la determinazione delle onde di taglio Vs i terreni indagati vengono inseriti in una delle seguenti categorie di sottosuolo (N.T.C. 2018_Tabella 3.2.II):

Categoria	Caratteristiche della superficie topografica
A	<i>Ammassi rocciosi affioranti o terreni molto rigidi caratterizzati da valori di velocità delle onde di taglio superiori a 800 m/s, eventualmente comprendenti in superficie terreni di caratteristiche meccaniche più scadenti con spessore massimo pari a 3 m.</i>
B	<i>Rocce tenere e depositi di terreni a grana grossa molto addensati o terreni a grana fina molto consistenti, caratterizzati da un miglioramento delle proprietà meccaniche con la profondità e da valori di velocità equivalente compresi tra 360 m/s e 800 m/s.</i>
C	<i>Depositi di terreni a grana grossa mediamente addensati o terreni a grana fina mediamente consistenti con profondità del substrato superiori a 30 m, caratterizzati da un miglioramento delle proprietà meccaniche con la profondità e da valori di velocità equivalente compresi tra 180 m/s e 360 m/s.</i>
D	<i>Depositi di terreni a grana grossa scarsamente addensati o di terreni a grana fina scarsamente consistenti, con profondità del substrato superiori a 30 m, caratterizzati da un miglioramento delle proprietà meccaniche con la profondità e da valori di velocità equivalente compresi tra 100 e 180 m/s.</i>
E	<i>Terreni con caratteristiche e valori di velocità equivalente riconducibili a quelle definite per le categorie C o D, con profondità del substrato non superiore a 30 m.</i>

ALLEGATO 1 - Acquisizione delle onde



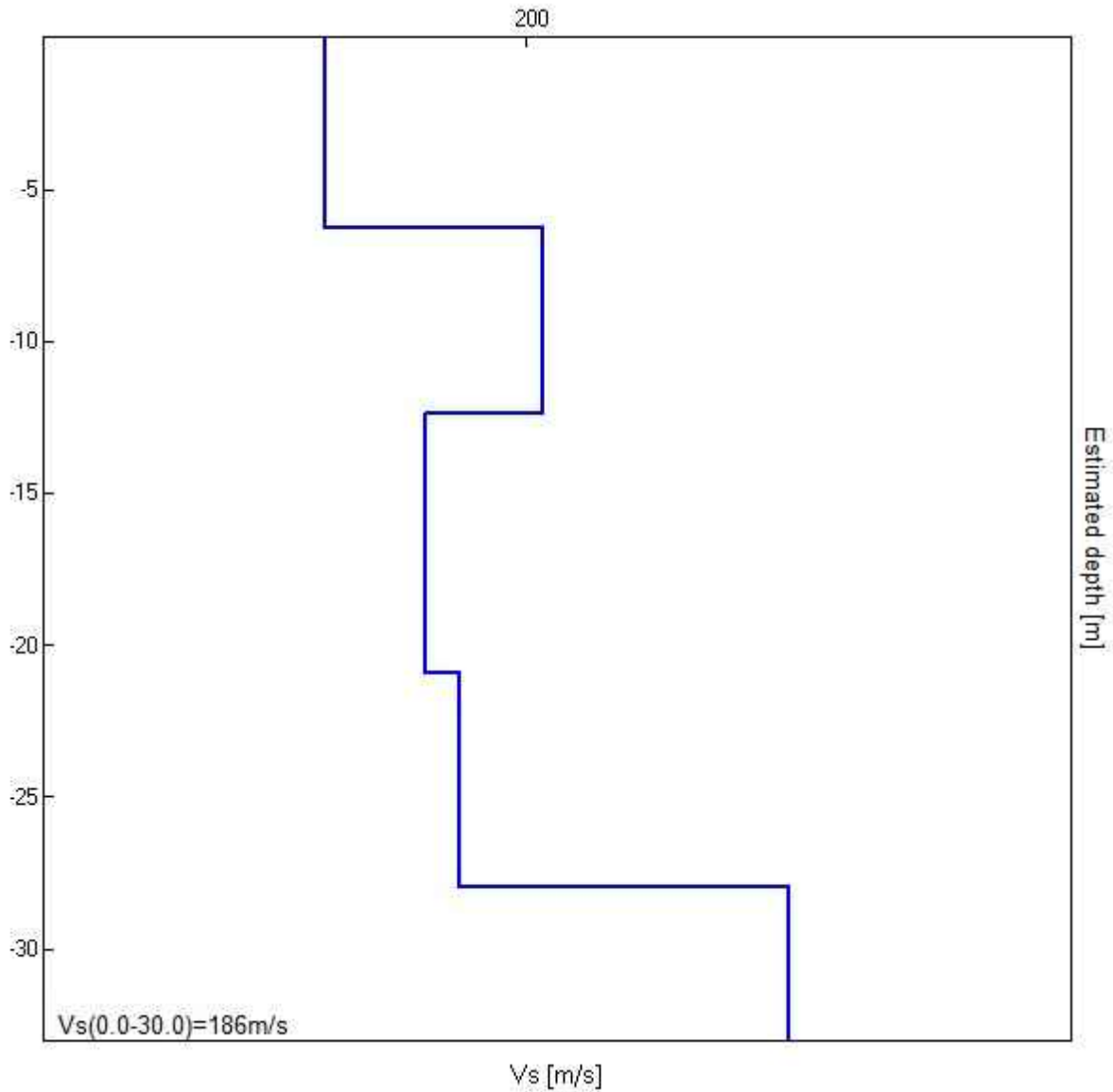
ALLEGATO 2 - Picking della curva di dispersione



ALLEGATO 3 - CALCOLO VS

Profondità alla base dello strato [m]	Spessore [m]	Vs [m/s]
6.30	6.30	164
12.40	6.10	203
20.90	8.50	182
inf.	inf.	247

Vs(0.0-30.0)=186m/s



Profondità di calcolo	Vs30 m/sec.	Categoria di suolo
0,00-30,00mt.	186	C
1,00-31,00mt.	189	C
2,00-32,00mt.	191	C
3,00-33,00mt.	194	C
4,00-34,00mt.	196	C



INTERGEO s.r.l. - **Servizi Geologici**
Strada Acquasalata, 9 47899 Serravalle - RSM
Codice Operatore Economico - SM21197
Tel. 333 2208376
www.intergeosm.com - mail: info@intergeosm.com

Località:

Forlimpopoli (FC) - Via Paganello

Oggetto:

Indagine sismica passiva a stazione singola HVSR

Data:

Novembre 2020

Premessa

Il giorno 02/11/2020 a Forlimpopoli (FC) - Via Paganello è stata eseguita un'indagine sismica passiva a stazione singola al fine di stimare il profilo della velocità delle onde di taglio ($V_{s,eq}$) per fornire la categoria di suolo di fondazione, secondo le Norme Tecniche per le Costruzioni (2018);

Strumentazione utilizzata e modalità esecutive

La misura di microtremore ambientale è stata effettuata per mezzo di un registratore sismico mostrato in figura 1.



Fig. 1

Il registratore è composto da una terna di velocimetri, i quali trasmettono il segnale ad un sistema di acquisizione digitale a basso rumore.

Lo strumento è stato posizionato correttamente (tramite bolla sferica e piedini regolabili) sul terreno; inizia l'acquisizione dei microtremori: i modi di vibrare del terreno vengono amplificati, convertiti in forma digitale, organizzati e salvati su una memoria digitale. Successivamente i dati vengono trasferiti nel PC dove, mediante il codice di calcolo Grilla appositamente sviluppato, vengono analizzati ed elaborati come mostrato in seguito.

Procedura di analisi dati per stazione singola H/V

Dall'elaborazione della registrazione del rumore sismico ambientale, è stata ricavata la curva H/V (HORIZONTAL TO VERTICAL SPECTRAL RATIO) (Pag. 4).

Il grafico H/V TIME HISTORY (Pag. 4) mostra le “finestre temporali” analizzate per l'elaborazione della curva H/V e permette di individuare eventuali finestre di disturbo all'interno di una registrazione.

Il grafico DIRECTIONAL H/V (Pag. 4) rappresenta la proiezione del HVSR lungo le diverse direzioni, da 0° a 180° in senso orario, dove 0° rappresenta la direzione del Nord segnato sullo strumento (da 180° a 360° i risultati sono simmetrici). Questo permette di vedere se una componente orizzontale prevale sull'altra: cioè se la media HVSR riceve più il contributo da parte di un componente orizzontale.

In seguito, il grafico SINGLE COMPONENT SPECTRA (Pag. 5), mostra l'andamento delle singole componenti nelle tre direzioni (N-S_E-O_Verticale).

In base alle conoscenze stratigrafiche, utilizzando la curva H/V, è stato possibile realizzare su di essa un modello sintetico di V_s (EXPERIMENTAL VS. SYNTHETIC H/V) (Pag. 5) seguendo inoltre le linee guida Sesame, 2005 (Pag. 6).

La classificazione del sottosuolo si effettua in base alle condizioni stratigrafiche ed ai valori della velocità equivalente di propagazione delle onde di taglio, $V_{S,eq}$ (in m/s), definita dall'espressione (Norme Tecniche per le Costruzioni 2018 del 17/01/2018), con la seguente formula:

$$V_{S,eq} = \frac{H}{\sum_{i=1}^N \frac{h_i}{V_{S,i}}}$$

con:

h_i : spessore dell'i-esimo strato;

$V_{S,i}$: velocità delle onde di taglio nell'i-esimo strato;

N : numero di strati;

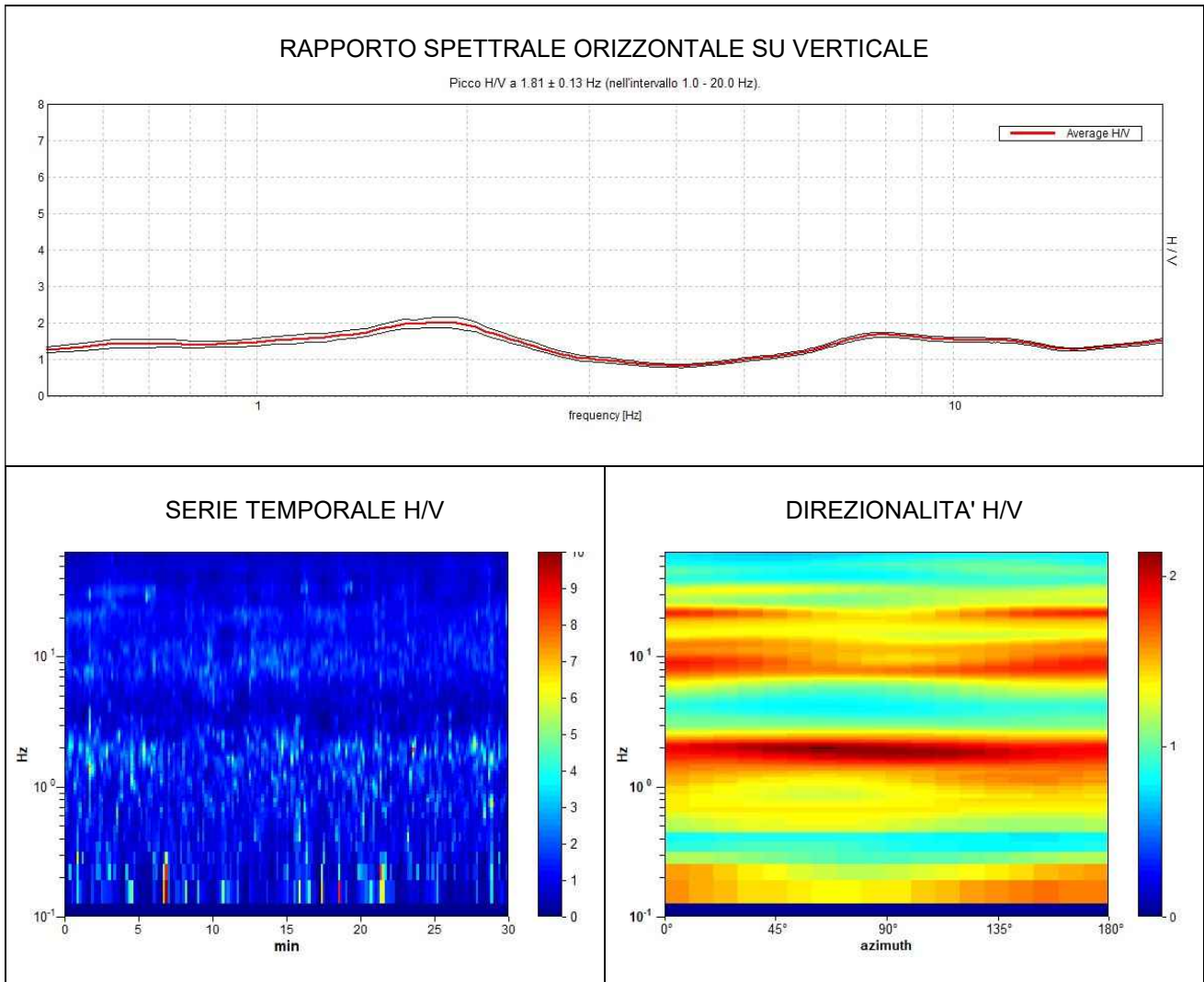
H : profondità del substrato, definito come quella formazione costituita da roccia o terreno molto rigido, caratterizzata da V_s non inferiore a 800 m/s.

Per depositi con profondità H del substrato superiore a 30 m, la velocità equivalente delle onde di taglio $V_{S,eq}$ è definita dal parametro $V_{S,30}$, ottenuto ponendo $H=30$ m nella precedente espressione e considerando le proprietà degli strati di terreno fino a tale profondità.

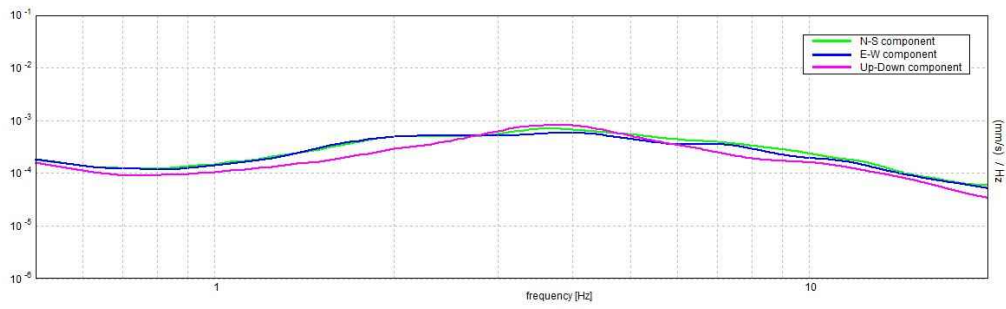
FORLIMPOPOLI

Inizio registrazione: 02/11/20 08:40:46 Fine registrazione: 02/11/20 09:10:47
Nomi canali: NORTH SOUTH; EAST WEST ; UP DOWN
Dato GPS: 44.203732 - 12.113431

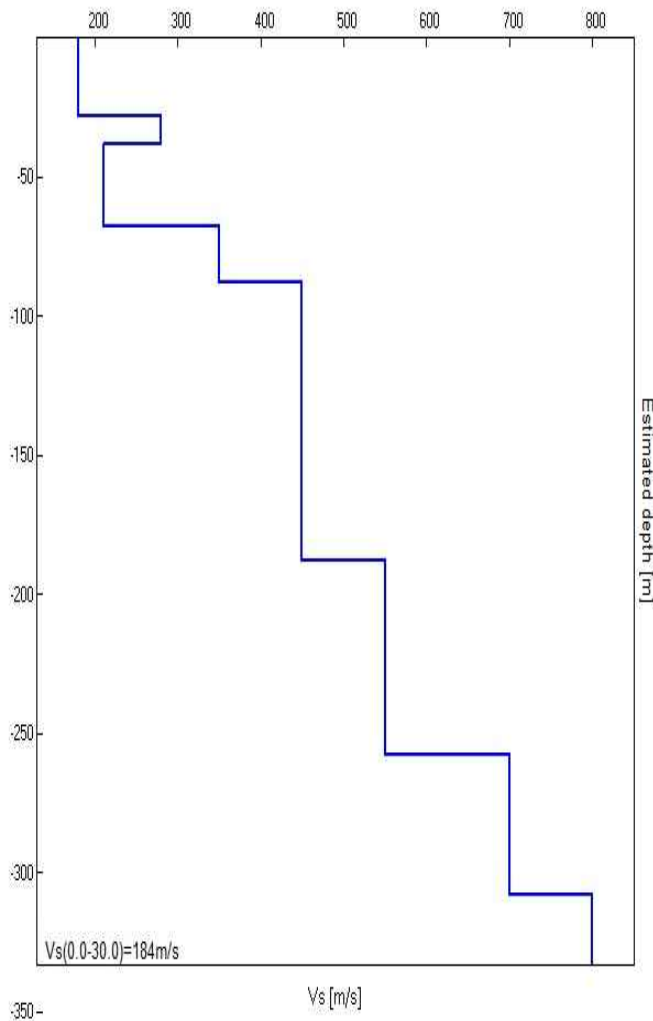
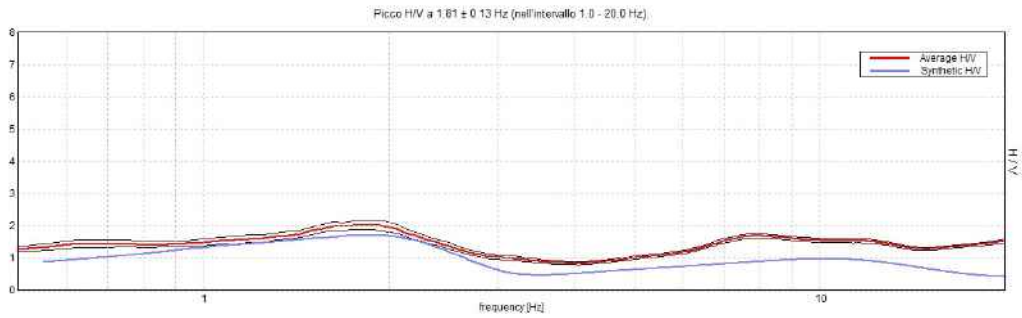
Durata registrazione: 0h30'00". Analisi effettuata sull'intera traccia.
Freq. campionamento: 128 Hz
Lunghezza finestre: 10 s
Tipo di lisciamento: Triangular window
Lisciamento: 15%



SPETTRI DELLE SINGOLE COMPONENTI



H/V SPERIMENTALE vs. H/V SINTETICO



Profondità alla base dello strato [m]	Spessore [m]	Vs [m/s]
28.00	28.00	180
38.00	10.00	280
68.00	30.00	210
88.00	20.00	350
188.00	100.00	450
258.00	70.00	550
308.00	50.00	700
inf.	inf.	800

$V_s(0.0-30.0)=184\text{m/s}$

Picco H/V a 1.81 ± 0.13 Hz (nell'intervallo 1.0 - 20.0 Hz).

Criteri per una curva H/V affidabile

[Tutti 3 dovrebbero risultare soddisfatti]

$f_0 > 10 / L_w$	$1.81 > 1.00$	OK	
$n_c(f_0) > 200$	$3262.5 > 200$	OK	
$\sigma_A(f) < 2$ per $0.5f_0 < f < 2f_0$ se $f_0 > 0.5\text{Hz}$ $\sigma_A(f) < 3$ per $0.5f_0 < f < 2f_0$ se $f_0 < 0.5\text{Hz}$	Superato 0 volte su 44	OK	

Criteri per un picco H/V chiaro

[Almeno 5 su 6 dovrebbero essere soddisfatti]

Esiste f^- in $[f_0/4, f_0]$ $A_{H/V}(f^-) < A_0 / 2$	1.719 Hz	OK	
Esiste f^+ in $[f_0, 4f_0]$ $A_{H/V}(f^+) < A_0 / 2$	3.063 Hz	OK	
$A_0 > 2$	$2.03 > 2$	OK	
$f_{\text{picco}}[A_{H/V}(f) \pm \sigma_A(f)] = f_0 \pm 5\%$	$ 0.04324 < 0.05$	OK	
$\sigma_f < \varepsilon(f_0)$	$0.13275 < 0.18125$	OK	
$\sigma_A(f_0) < \theta(f_0)$	$0.1454 < 1.78$	OK	

L_w	lunghezza della finestra
n_w	numero di finestre usate nell'analisi
$n_c = L_w n_w f_0$	numero di cicli significativi
f	frequenza attuale
f_0	frequenza del picco H/V
σ_f	deviazione standard della frequenza del picco H/V
$\varepsilon(f_0)$	valore di soglia per la condizione di stabilità $\sigma_f < \varepsilon(f_0)$
A_0	ampiezza della curva H/V alla frequenza f_0
$A_{H/V}(f)$	ampiezza della curva H/V alla frequenza f
f^-	frequenza tra $f_0/4$ e f_0 alla quale $A_{H/V}(f^-) < A_0/2$
f^+	frequenza tra f_0 e $4f_0$ alla quale $A_{H/V}(f^+) < A_0/2$
$\sigma_A(f)$	deviazione standard di $A_{H/V}(f)$, $\sigma_A(f)$ è il fattore per il quale la curva $A_{H/V}(f)$ media deve essere moltiplicata o divisa
$\sigma_{\log H/V}(f)$	deviazione standard della funzione $\log A_{H/V}(f)$
$\theta(f_0)$	valore di soglia per la condizione di stabilità $\sigma_A(f) < \theta(f_0)$

Valori di soglia per σ_f e $\sigma_A(f_0)$

Intervallo di freq. [Hz]	< 0.2	0.2 – 0.5	0.5 – 1.0	1.0 – 2.0	> 2.0
$\varepsilon(f_0)$ [Hz]	$0.25 f_0$	$0.2 f_0$	$0.15 f_0$	$0.10 f_0$	$0.05 f_0$
$\theta(f_0)$ per $\sigma_A(f_0)$	3.0	2.5	2.0	1.78	1.58
$\log \theta(f_0)$ per $\sigma_{\log H/V}(f_0)$	0.48	0.40	0.30	0.25	0.20

According to the Sesame, 2005 guidelines.

Con la determinazione delle onde di taglio Vs i terreni indagati vengono inseriti in una delle seguenti categorie di sottosuolo (N.T.C. 2018_Tabella 3.2.II):

Categoria	Caratteristiche della superficie topografica
A	<i>Ammassi rocciosi affioranti o terreni molto rigidi caratterizzati da valori di velocità delle onde di taglio superiori a 800 m/s, eventualmente comprendenti in superficie terreni di caratteristiche meccaniche più scadenti con spessore massimo pari a 3 m.</i>
B	<i>Rocce tenere e depositi di terreni a grana grossa molto addensati o terreni a grana fina molto consistenti, caratterizzati da un miglioramento delle proprietà meccaniche con la profondità e da valori di velocità equivalente compresi tra 360 m/s e 800 m/s.</i>
C	<i>Depositi di terreni a grana grossa mediamente addensati o terreni a grana fina mediamente consistenti con profondità del substrato superiori a 30 m, caratterizzati da un miglioramento delle proprietà meccaniche con la profondità e da valori di velocità equivalente compresi tra 180 m/s e 360 m/s.</i>
D	<i>Depositi di terreni a grana grossa scarsamente addensati o di terreni a grana fina scarsamente consistenti, con profondità del substrato superiori a 30 m, caratterizzati da un miglioramento delle proprietà meccaniche con la profondità e da valori di velocità equivalente compresi tra 100 e 180 m/s.</i>
E	<i>Terreni con caratteristiche e valori di velocità equivalente riconducibili a quelle definite per le categorie C o D, con profondità del substrato non superiore a 30 m.</i>

Dall'analisi dell'indagine si può affermare che il sito è caratterizzato dalle seguenti velocità delle onde di taglio (V_{s30}):

profondità di calcolo	V_{s30} m/sec.	Categoria di suolo
0,00-30,00mt.	184	C
1,00-31,00mt.	187	C
2,00-32,00mt.	189	C
3,00-33,00mt.	191	C
4,00-34,00mt.	194	C